

大阪大学工学部 正員 ○岩田 好一郎 権木 亨

1. 緒言： 海岸・港湾構造物の大半が浅海碎波帯以浅に構築されてゐるが、浅海碎波帯における不規則波の挙動を的確に把握しておく事は工学的に重要である。本論では、不規則波に先立ち、2成分波を取り挙げて実験を行ない、その碎波変形について主に波高スペクトルの面より検討を加えていたのでその結果の一部を報告する。

2. 次元解析： 筆者らは規則波の碎波現象において、重力が復元力となる周波数域で、成分波高は周波数の増加につれて f^{-1} と f^{-2} に比例する分布形を一種の平衡勾配としてとることを明らかにした。さらに、長波に対する周波数 ($f \leq \sqrt{g/625h}$; g =重力加速度, h =静水深) では限界波高は孤立波のように周波数に無関係に水深のみで与えられると考えると、次式で示される限界波高スペクトル $H(f)$ が提唱されよう。

$$H(f) \propto gf^{-2}; f_2^* \leq f < f_3^* \quad (f_2^* = \sqrt{g/4\pi h}, f_3^* = \frac{1}{2\pi} \sqrt{\frac{8g^3}{\alpha}}) \\ \propto ghf^{-1}; f_1^* < f < f_2^* \quad (f_1^* = \sqrt{g/625h}) \\ \propto h; f \leq f_1^*$$

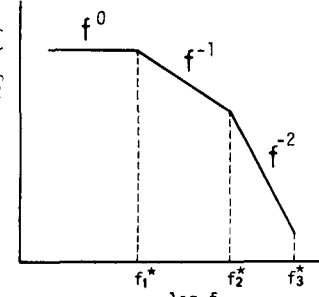


図-1 模式図

なお、上式で ρ と α は水の密度と表面張力である。上式を模式的に示すと図-1 となる。

3. 実験装置と解析方法： 実験水槽は $30m \times 0.75m \times 0.95m$ の片面ガラス張りの2次元碎波発生水槽である。2成分波は多成分波発振器により生起せしめた。模型海岸は $1/30$ の一様勾配傾斜面と前端部が $1/10$ の斜面と有する水平床の2種類である。水面形状は電気抵抗線式水位計で計測し、碎波率及び表-1 実験種目碎波時の波高は $16mm$ 高速シネカラ(100コマ/sec)により決定

1尺。実験波は表-1 にて示す $1/30$ 勾配につけて8種類、複合水平床で14種目である。波高スペクトルは12.8秒間の時相形状を1/40秒拍隔で読みとり、計512ヶ所離散量を求めて、FFT法により求めた。

4. 実験結果とその考察： まず上述1に次元解析の妥当性について述べる。図-2、図-3に示されているように、碎波帶では卓越波の成分波高スペクトル $H(f)$ はほぼ $f_2^* < f < f_3^*$ (≈ 1.2 Hz)の周波数域では f^{-2} に比例する事、 $f_1^* < f < f_2^*$ の周波数域ではほぼ f^{-1} に比例する事が認められ、单一成分波(規則波)の場合と同様2成分波についても、 f^{-1} と f^{-2} は一種の平衡勾配となつてゐる事が指摘できよう。なお、 $f \leq f_1^*$ の周波数域のスペクトル勾配は実験波の周期が短周期のために残念ながら議論できなかつた。さて、2成分波の碎波は2～3回繰り返して水深で起り、碎波型式もその都度異なる場合が多い。図-3は卓越する成分波高スペクトルと、基本となってゐる2つの自由波(f_1, f_2)とその調和成分波、つまり $[f_1, 2f_1, 3f_1, \dots]$; 図中●印]と $[f_2, 2f_2, 3f_2, \dots]$; 図中○印]と、2つ。基本自由波間の非線形干涉波 $[nf_1 \pm mf_2, n=1, 2, 3, \dots, m=1, 2, 3, \dots]$; 図中●印]に分けて碎波帶の波高スペクトルの変化を示したものである。オ1回目、碎波では、どちらか一方の自由波の基本周波数とその調和成分の波高が極めて高波より卓越する。図-3(a)の場合は、 f_2 ($T_2 = 1.2$ sec)の基本周波数とその調和成分波 $[mf_2; m=1, 2, \dots, 7]$ が他の成分波より卓越しており、単成分波の碎波によ

CASE	S	H ₁ (cm)	T ₁ (sec)	H ₂ (cm)	T ₂ (sec)	CASE	S	H ₁ (cm)	T ₁ (sec)	H ₂ (cm)	T ₂ (sec)
B-1	1/30	3.0	1.0	3.0	0.7	A-1	0	7.0	1.0	1.0	1.2
B-2	1/30	3.0	1.0	2.0	0.8	A-2	0	1.0	1.0	7.0	1.2
B-3	1/30	3.0	1.0	4.0	0.8	A-3	0	6.0	1.0	6.0	1.2
B-4	1/30	3.0	1.0	4.0	1.1	A-4	0	3.0	1.0	3.0	0.7
B-5	1/30	3.0	1.0	7.5	1.1	A-5	0	3.0	1.0	4.0	0.7
B-6	1/30	3.0	1.0	4.5	1.2	A-6	0	3.0	1.0	3.0	0.8
B-7	1/30	3.0	1.0	9.0	1.2	A-7	0	3.0	1.0	4.0	0.8
B-8	1/30	3.0	1.0	6.0	1.4	A-8	0	3.0	1.0	5.0	0.8
						A-9	0	3.0	1.0	4.0	1.1
						A-10	0	3.0	1.0	5.5	1.1
						A-11	0	3.0	1.0	7.5	1.1
						A-12	0	3.0	1.0	4.5	1.2
						A-13	0	3.0	1.0	6.5	1.2
						A-14	0	3.0	1.0	6.0	1.4

く類似している³⁾。オ1回目の碎波以後は、卓越していた[mf₂]の成分波は波の進行とともに低減し、オ2回目の碎波帯近傍になると(図-3(c)), もう一方の自由波の調和成分及び非線型干渉波が周波数の比較的高い領域で卓越してくる。2回目の碎波後は($X=0\text{m}$, 2.2m地盤はオ1回とオ2回目の碎波帯である)図-3(c)に一例として示されているように、非線型干渉波が自由波の調和成分波と同等、あるいはそれ以上に大きくなる。こういった成分波の中特に卓越するものは、3次オーダーの成分波であるが、表-2に示されているように、自由波の周波数より低周波数側の f_1-f_2 , $2f_2-f_1$ 等と並んで2次、3次の“差の成分”の非線型干渉波が自由波の基本周波数成分の波高より大きくなる場合が多く、特にこの傾向は波が汀線に近づくにつれて顕著になってくる。現地実験では、浅海碎波帯において、パワー・スペクトル密度がピーク周波数より低周波数側で増大していく事、つまり低周波数側へのエネルギー移行が認められてはいるが、恐らく上述のような“差の非線型干渉波”に依拠する所が大きいものと推察される。なお、表-2に示す実験波のオ1碎波帯とオ2碎波帯の水深9.5cmと7.0cmである。なお、本研究は文部省科学研究費一般研究(C)「浅海域における不規則波の碎波変形特性に関する研究」によつて筆を付記する。

また、本研究の実験及び資料整理に勞を煩らぬ

1)に当時学部4年生改田昌生君(東洋建設株式会社)へ謝意を表す3次オである。

参考文献: 1)Sawaragi and Iwata: Proc. of the 14th Conf. on Coastal Engg., 1976, 2)Keulegan and Patterson: NBS, 1940, 3)榎木・岩田: 第22回海講論文集, 1975.

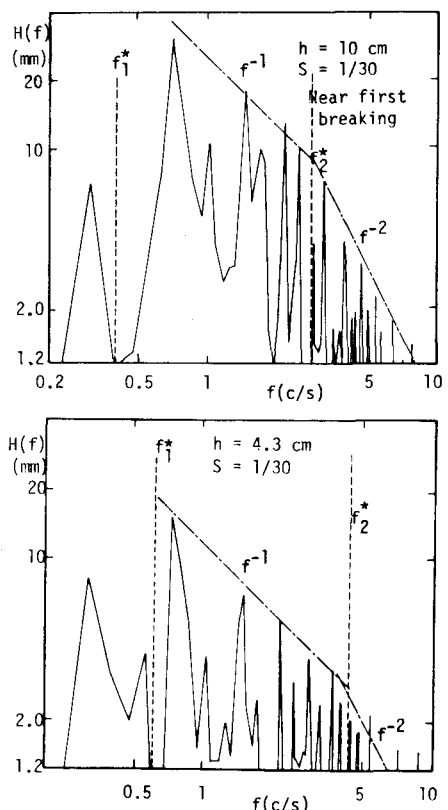


図-2 波高スペクトル($S=1/30$, Case B-8)

$h(\text{cm})$	f_1-f_2	$2f_2-f_1$	f_2	f_1	$2f_1-f_2$	$2f_2$	f_1+f_2	$2f_1$	$3f_2$	$2f_2+f_1$	$2f_1+f_2$	$3f_1$
29.0	1.3	0.7	17.8	10.7	1.6	1.6	3.0	1.5	*	0.5	*	*
11.0	1.8	0.9	15.8	6.8	*	4.4	4.9	1.1	1.6	1.9	0.6	
10.0	1.8	1.6	15.0	5.7	*	5.6	4.7	1.3	1.7	1.7	0.6	
9.0	1.6	0.8	13.3	5.2	*	7.1	4.7	1.5	3.3	2.9	0.6	
4.3	2.8	1.0	9.4	1.3	1.1	6.4	1.1	0.9	3.9	1.3	1.3	
3.7	2.3	1.5	8.4	1.2	0.6	5.5	0.9	0.8	3.4	0.6	1.6	
3.0	2.7	1.7	7.2	1.7	0.6	3.8	1.3	*	2.9	1.1	0.9	
1.7	1.9	1.7	6.1	1.6	1.1	2.5	1.1	0.6	1.5	1.3	0.7	

unit: mm $f_1=1.0\text{Hz}$, $f_2=0.85\text{Hz}$, $S=1/30$, * = values smaller than 0.5mm

表-2 成分波高の変化($S=1/30$, Case B-6)

図-3 碎波帯における波高スペクトルの変化($S=0$, Case A-2)

